

# Анализ затухания волн: L=640, DW=160, R=0.0001

## Параметры моделирования

- Длина образца:  $L = 640$  м
- Ширина образца:  $DW = 160$  м
- Коэффициент затухания:  $R = 0.0001$
- Модуль Юнга:  $E$ , Коэффициент Пуассона:  $\nu$ , Плотность:  $\rho$

## Расчётные скорости волн

- Аналитическая скорость продольной волны:  $v_p = 376.43$  м/с
- Аналитическая скорость поперечной волны:  $v_s = 201.21$  м/с
- Аналитическая скорость Рэлеевской волны:  $v_r = 186.35$  м/с
- Временной шаг:  $\Delta t = 3.41e - 04$  с
- Экспериментальная скорость поперечной волны:  $v_s^{exp} = 250.00$  м/с
- Экспериментальная скорость отраженной продольной волны:  $v_p^{ref} = 192.25$  м/с
- Величина ошибки:  $\varepsilon = 1.11e - 07$

## Анализ прихода продольной волны

- Аналитическое время прихода продольной волны:  $t_{analytical} = 1.70$  с
- Экспериментальный индекс прихода продольной волны: 5109
- Экспериментальное время прихода продольной волны:  $t_{wave} = 1.74$  с
- Скорость пришедшей продольной волны:  $v_p^{exp} = 367.58$  м/с
- Длина продольной волны в индексах: 1216
- Длина продольной волны в метрах:  $\lambda_p = 152.29$  м

## Анализ пересечения волн

- Экспериментальное время пересечения волн:  $t_{intersection} = 2.20$  с
- Экспериментальный индекс пересечения волн: 6468
- Экспериментальное расстояние пересечения волн:  $x_{intersection} = 551.01$  м
- Номер приемника, ближайшего к пересечению: 28
- Индекс прихода падающей волны через ресивер пересечения: 4470

## Визуализация тензора

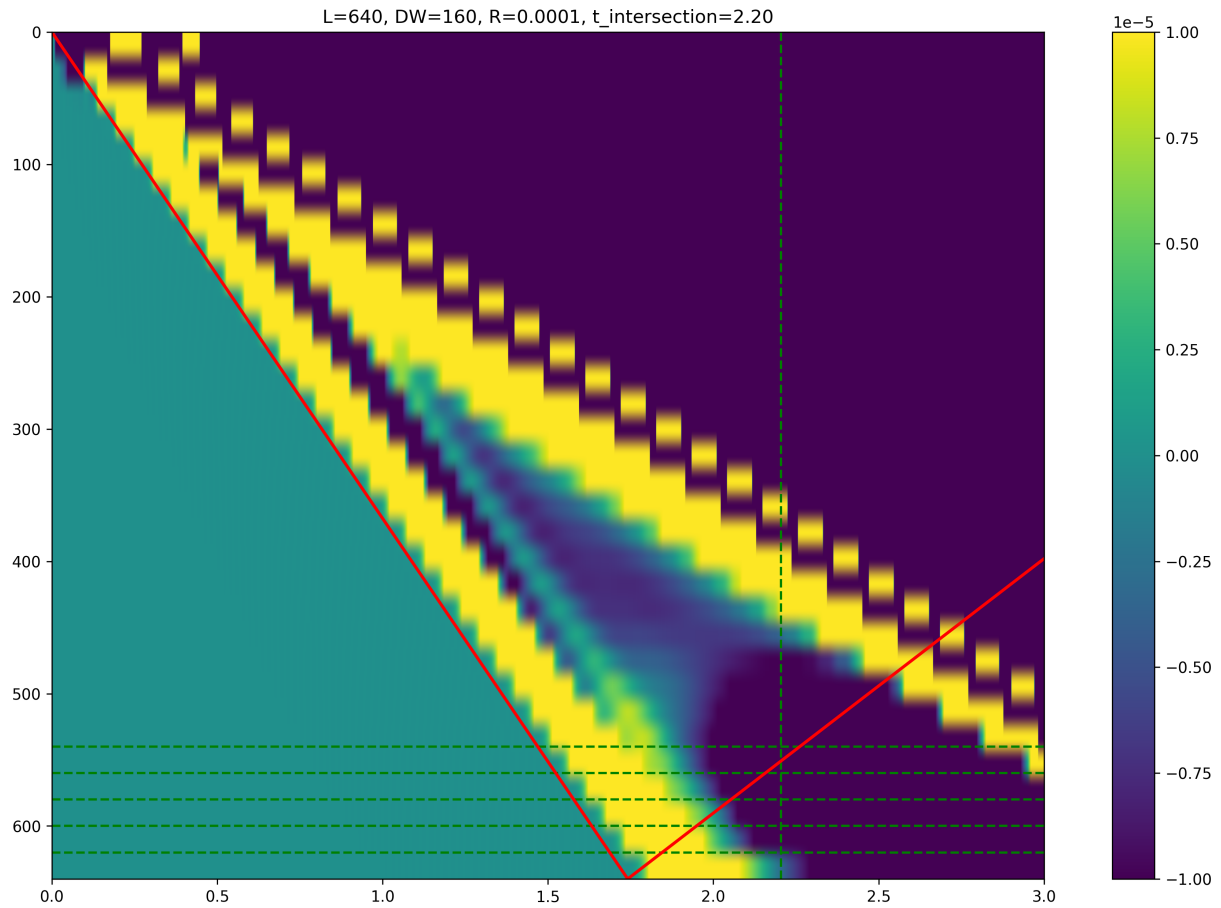


Рис. 1: Визуализация распространения волн в среде

## Анализ волн

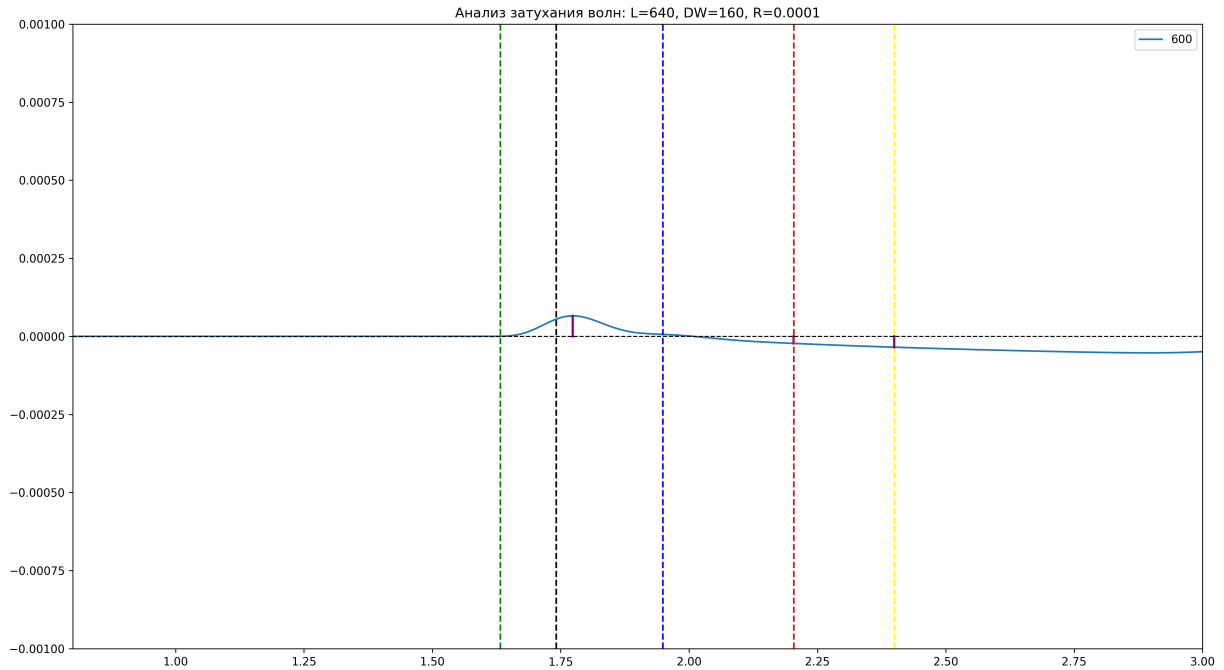


Рис. 2: Анализ падающих и отраженных волн

## Результаты анализа амплитуд

Позиция (м)	$t_{p,fall}$ (с)	$t_{p,refl}$ (с)	$t_{s,fall}$ (с)	$t_{int}$ (с)	$A_{p,fall}$	$A_{p,refl,0}$	$A_{p,refl,1}$	Ratio 0 (%)	Ratio 1 (%)
600.0	1.632	1.949	2.400	2.204	6.572e-05	2.251e-05	3.466e-05	34.26%	52.74%